

Poly(vinyl alcohol) (PVA)/Poly(acrylic acid) (PAA)-銅(Ⅱ) Chelate 形成과 0I 化合物을 利用한 Vinyl Monomer의 重合反應

曹鍾守·金秀耕·林漢珍·蔡奎皓·金在汝

全南大學校 化學工科大學 化工科

(1980년 8월 5일 접수)

Formation of PVA/PAA Mixture-Cu(Ⅱ) Chelate and Vinyl Polymerization by using Such Chelates

**Chong-Su Cho, Soo-Kyung Kim, Han-Jin Lim, Kyu-Ho Chae
and Jai-Moon Kim**

*Dept. of Chemical Engineering, College of Chemical Engineering, Chonnam University,
Kwangju, Korea*

(Received August 5, 1980)

要約: PVA, PAA 및 PVA/PAA 각混合液과 Cu⁺⁺와의 錫物을 利用한 重合開始能을 檢討하였다. PVA-Cu⁺⁺系에서는 pH가 7.5부근에서부터 錫物을 形成하기 시작하여 pH가 8 부근에서부터 pH가 13부근까지 UV, vis.의 영역에서 최대흡수파장, 그파장에서의 흡광계수, 접도값이 같은 경향으로 나오고있는 것으로 보아 形成된 錫物의 구조가 같다고 생각되어진다. PAA-Cu⁺⁺系에서는 pH에 따라서 λ_{max} .와 흡광계수가 다른데 이것은 形成된 錫物의 구조와 形成量의 차이라고 생각된다. PVA/PAA-Cu⁺⁺系에서는 vis. 및 IR spectra 결과에서 pH 9以下에서는 PAA-Cu⁺⁺와 11以上에서는 PVA-Cu⁺⁺와 같은 경향이 얻어지고 있어 pH에 따라서 선택적으로 Cu⁺⁺와 PVA/PAA系가 錫物을 形成하고 있다고 추측된다. 각각의 錫物을 利用한 vinyl monomer의 重合反應을 검토한 결과 CCl₄存在下의 PAA-Cu⁺⁺系에서는 거의 效果가 없으나 CCl₄存在下의 PVA-Cu⁺⁺系는 錫物을 形成하는 pH 영역에서 스티렌의 重合開始能을 보였다. CCl₄存在下의 PVA/PAA-Cu⁺⁺系의 重合에서는 錫物形成時의 pH에 따른 선택적인 錫物形成경향과 같이 重合開始能을 나타내었다.

Abstract: The chelate formations of PVA, PAA and PVA/PAA with Cu⁺⁺, and activities of these chelates for the initiation of vinyl monomers were studied. In PVA-Cu⁺⁺ system, the formation of chelate begins at pH 7.5. The wavelength at maximum absorption (λ_{max}) at visible and UV regions, absorption coefficient at λ_{max} , and viscosity were leveled off above pH 8. Therefore, the structure of PVA-Cu⁺⁺ chelate appears to be same above pH 8. The formation of chelate in PAA-Cu⁺⁺ system caused blue shift of λ_{max} . Values of λ_{max} and absorption coefficient varied with pH, generally decreased with pH above pH 5. For PVA/PAA mixture-Cu⁺⁺ chelate system, however, peak position in the absorption spectra and IR spectra indicate that Cu⁺⁺ formed the chelate with PAA below pH 9 and

Chelate 形成과 이化合物을 利用한 Vinyl Monomer 的 重合反應

with PVA above pH 11. These chelates were examined for the initiation capability of styrene monomer in presence of CCl_4 . The PVA-Cu⁺⁺ system could initiate the polymerization of styrene. In the mixture system, however, the initiation activity was directly dependent on their ability to form the chelates, which was greatly affected by pH.

1. 序論

金屬酵素에서 金屬의 役割을 究明하기 위하여 合成高分子配位子와 金屬과의 相互作用에 關한 研究와 이러한 高分子錯物의 機能性에 關한 검토가 활발히 進行되고 있다^{1~6}. 本研究에서는 -COOH 基와 -OH 基를 한 分子內에 같이 갖고 있는 algin 酸의 金屬錯化合物의 重合開始能力을 갖는다는 點⁶에 착안하여 殘基에 -COOH 基를 갖는 poly(acrylic acid) (PAA) 와 -OH 基를 갖는 poly(vinyl alcohol) (PVA) 的 混合物內에 Cu⁺⁺이온이 존재할 때에 특히 pH에 對한 錯物의 形成과 이 錯物을 利用한 vinyl 重合開始能力을 檢討하였다. 아울러 PVA/PAA 混合物과 比較하기 위하여 PVA, PAA 각각과 Cu⁺⁺와의 關係도 검토하였다.

2. 實驗

2-1. 試料

PVA: 市販하는 一級試藥(日本和光製, 重合度 2,000, 沈化도 99.5~98.5%)을 그대로 真空乾燥하여 사용하였다.

PAA: 市販하는 25% poly(acrylic acid) 水溶液(日本和光製, 8,000~12,000cps)을 그대로 사용하였다.

$\text{CuCl}_2 \cdot 2\text{H}_2\text{O}$: 市販하는 特級試藥(Merck 製)을 그대로 사용하였다.

스티렌 및 methyl methacrylate: vinyl 單量體는 一級試藥(日本和光製)을 常法에 依하여 真空減壓蒸溜하여 使用하였다.

2-2. 實驗方法

錯物水溶液의 調製: 각각의 polymer 水溶液(PVA, PAA, PVA/PAA) 0.04 unit mole/l에 polymer의 unit mole 對[Cu⁺⁺]의 mole 比가 8

對 1 이 되도록 $\text{CuCl}_2 \cdot 2\text{H}_2\text{O}$ 水溶液을 加하고 HCl, NaOH 水溶液으로 pH를 조절하여 全體容量이 25cc가 되도록 純水를 채운 後, 25±1°C에서 1時間동안 교반하고 室溫에서 24時間 放置한 後 以下の 測定에 使用하였다. Polymer의 最終濃度는 1.6×10^{-2} unit mole 이었고 이때, 이온強度는 錯物水溶液의 沈澱生成으로 인하여 고려하지 않았다.

pH測定: 錯物水溶液의 pH는 Fisher Model 230 pH meter로 25±1°C에서 測定하였다.

可視紫外吸收 spectrum의 測定: 上記의 錯物水溶液을 Varian 製 Super Scan-3型分光光度計를 사용하여 200nm에서 900nm 까지의 波長範圍에서 吸收 spectrum을 測定하였다.

赤外線吸收 spectrum의 測定: 上記의 水溶液을 室溫에서 濃縮乾燥시켜 KBr disc 方法에 의하여 Shimadzu, IR-430型 赤外分光光度計를 使用하여 測定하였다.

粘度測定: Cannon-Fenske型 粘度計를 使用하여 25±0.1°C에서 錯物水溶液의 相對粘度 및 還元粘度를 測定하였다.

Vinyl monomer의 重合: Kimura 等⁷의 方法에 따라서 錯物水溶液 5cc, vinyl monomer 2cc, CCl_4 1cc 를 窒素로 置換시킨 反應器에 넣고 밀폐한 후 반응기를 혼들면서 5시간동안 80°C로 가열하였다. 반응후 生成된 polymer는 과량의 methanol로 침전분리한 후, 24시간 真空乾燥하여 重量을 測定하였으며 重合收率은 (生成된 polymer의 重量 / monomer의 重量) × 100(%)의 式에 의하여 算出하였다.

3. 結果 및 考察

3-1. PVA-Cu 系

3-1-1. pH變化에 따른 PVA-Cu⁺⁺錯物水溶液의 吸收 Spectra

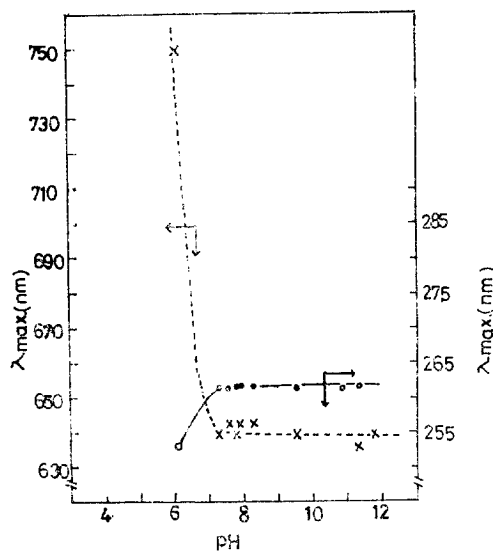


Figure 1. Plots of maximum absorption band against pH for UV (\times) and visible (\bullet) in aqueous PVA- Cu^{++} solutions.

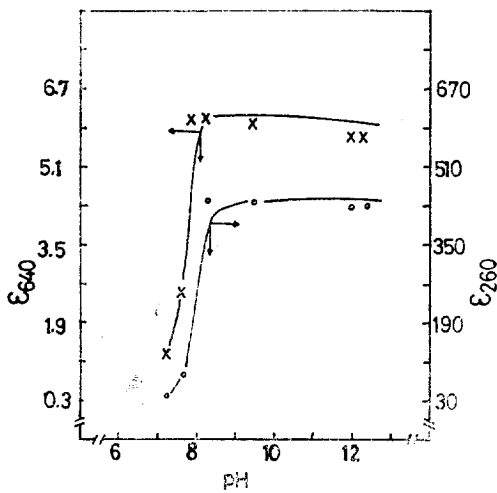


Figure 2. Absorption coefficients at selected wavelengths of 640nm (\times) and 260nm (\bullet) against pH in aqueous PVA- Cu^{++} solutions.

Fig. 1 은 PVA- Cu^{++} 錯物水溶液의 可視紫外 spectra에서의 最大吸收波長(λ_{\max})과 pH 와의

關係를 plot 한結果이다. Fig.에서 나타내는 바와같이 錯物을 形成하지않는 pH 6부근에서는 Cu^{++} 이온이 나타내는 約 750nm에서 λ_{\max} .가 存在하나, pH 가 7.5부근에서부터는 λ_{\max} .가 크게 blue-shift 되어 pH 가 12부근까지 640nm에서 나타났다. 紫外領域에서도 可視領域과 같은 傾向으로 λ_{\max} .가 260nm로 red-shift 되었다. 위와같은 λ_{\max} .의 shift의 原因은 $-\text{OH}$ group에서의 $-\text{O}-\text{Cu}$ 結合에 依해서 일어난 것으로 생각된다^{8,9}. Fig. 2는 640nm와 260nm에서의 吸光度係數를 pH에 對하여 plot 한結果로서 Fig. 1과 같은 傾向을 보였다. 이러한 結果로 보아서 pH 가 8부근부터 12부근까지 形成된 PVA- Cu^{++} 錯物의 conformation과 錯物의 形成量에 차이가 없기 때문이라고 생각되어진다.

3-1-2. 粘度測定

Fig. 3 은 pH와 還元粘度($\eta_{sp/c}$)와의 關係를 나

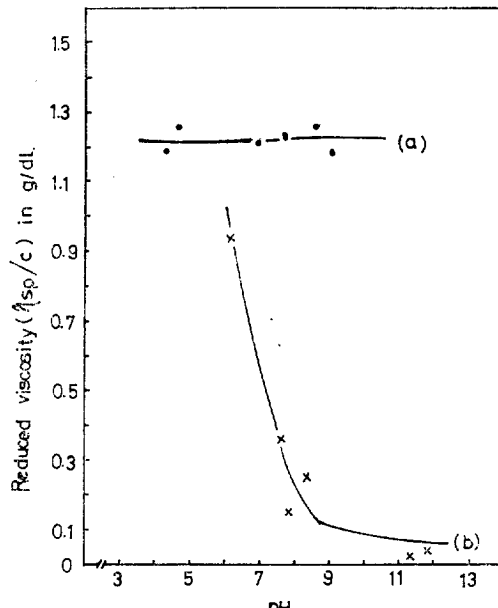


Figure 3. Reduced viscosity of the PVA (\bullet) and PVA- Cu^{++} (\times) aqueous solutions against pH. Temperature: 25°C, [PVA]: 1.6×10^{-2} mol/l in H₂O, [Cu Cl₂]: 2×10^{-3} mol/l in H₂O.

Poly (Vinyl alcohol) (PVA)/Poly(acrylic acid) (PAA)-銅(II) chelate 形成과 이化合物을 利用한 vinyl monomer의 重合反應

타낸 것으로 Fig. 4에서 보는 바와 같이 PVA 單獨의 경우는 pH에 對해서 粘度變化가 거의 없는 反面, PVA-Cu⁺⁺錯物水溶液은 pH가 6에서 7.5부근까지 粘度가 急激히 떨어지는 것을 알 수 있었다. pH가 8以上에서는 Fig. 1과 Fig. 2와 같은 경향으로 앞에서 논술한 것과 관계가 있으리라고 생각된다. 一般的으로 高分子錯物을 形成함으로 인하여 分子形態가 實 모양의 形態에서 compact 한 形態로 变하기 때문에 粘度가 강화하는 것과 같은 이유라 생각된다.

3-2. PAA-Cu 系

3-2-1. pH變化에 따른 PAA-Cu⁺⁺錯物水溶液의 吸收 spectra

Fig. 4는 pH變化에 따른 吸收 spectra에서의 $\lambda_{\text{max.}}$ 를 plot한 結果로서 Fig. 4에서 보는 바와 같이 可視領域에서는 pH가 4.3부근에서부터 blue-shift가 일어나고 pH 12부근에서는 $\lambda_{\text{max.}}$ 가 680 nm에 이르렀다. 紫外領域에서는 pH에 對해서 複雜한 양상으로 225nm까지 短波長으로 shift되었다. 이러한 可視領域에서의 blue-shift의 原因은 PAA의 carboxyl ligand와 Cu⁺⁺이온이 錯物을 形成함으로 인한 d-d transition 때문이며 10, 11, 12, 紫外領域에서의 shift는 charge-transfer band^{11, 12} 때문이라고 생각된다.

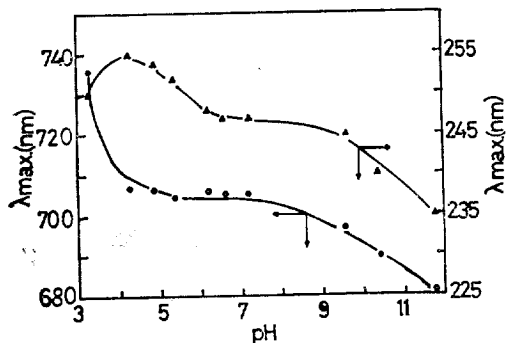


Figure 4. Plots of maximum absorption band against pH for UV (▲) and visible (●) in aqueous PAA-Cu⁺⁺ solutions.

Fig. 5는 pH變化에 따른 710nm 및 250nm에서의 吸光度係數를 plot한 것으로써 양쪽 모두

pH4.2부근에서 吸光度係數가 最大가 되었고, pH가 上升함에 따라 吸光度係數가 작아지는 경

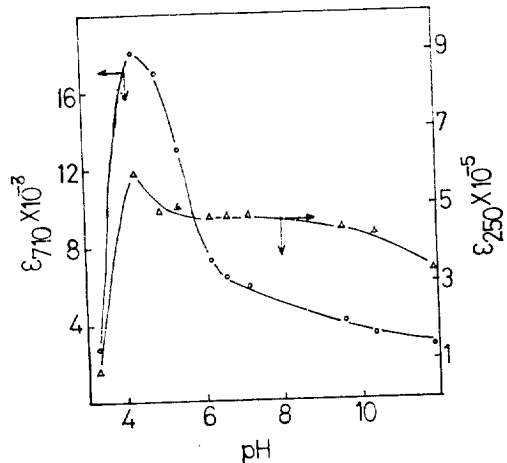


Figure 5. Absorption coefficients at selected wavelengths of 710nm (●) and 250nm (▲) against pH in aqueous PAA-Cu⁺⁺ solutions.

향을 보였다. 이러한 Fig. 4, 5와 같은 결과는 앞서 論한 PVA-Cu⁺⁺錯物水溶液과는 다른 傾向으로서, $\lambda_{\text{max.}}$ 와 吸光度係數의 差異는 pH에 따라서 PAA와 Cu⁺⁺이온의 結合양상이 달라져 錯物의 conformation이 다른 때문이라고 생각된다¹³.

3-2-2. 粘度變化

Fig. 6은 pH變化에 따른 PAA와 PAA-Cu⁺⁺錯物水溶液의 相對粘度比($\eta_{\text{PAA-Cu}^{++}}/\eta_{\text{PAA}}$)를 나타낸 것으로서 PAA-Cu⁺⁺水溶液이 PAA水溶液보다 相對粘度가 작았는데 이는 錯物形成으로 인한 conformation의 變化때문으로 생각된다. 특히 pH 7부근에서 가장 작은 값이 얻어졌는데 이것은 아마도 錯物의 形成量과 有關한 것으로 생각된다.

3-3. PVA/PAA-Cu⁺⁺系

3-3-1. pH變化에 따른 PVA/PAA-Cu⁺⁺錯物水溶液의 吸收 Spectra

Fig. 7은 PVA와 PAA의 unit mole 比가 1:1 일 때의 PVA/PAA混合水溶液에 Cu⁺⁺이온이 添加되었을 때의 可視 spectra에서의 $\lambda_{\text{max.}}$ 와 pH와의 관계를 plot한 결과이다. Fig. 7에서 나타내는

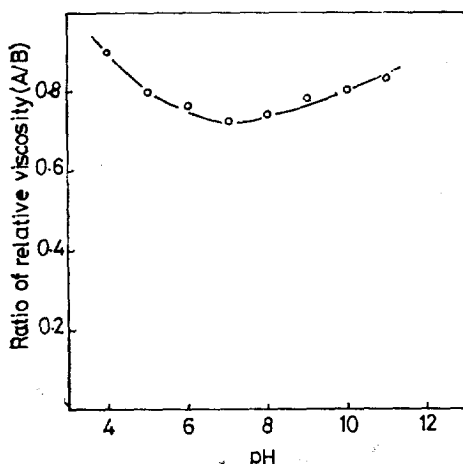


Figure 6. Ratio of relative viscosity of PAA-Cu⁺⁺ aqueous solutions to PAA aqueous solutions against pH.

Temperature: 25°C

[PAA] : 1.6×10^{-2} mol/l in H₂O
[CuCl₂] : 2×10^{-3} mol/l in H₂O

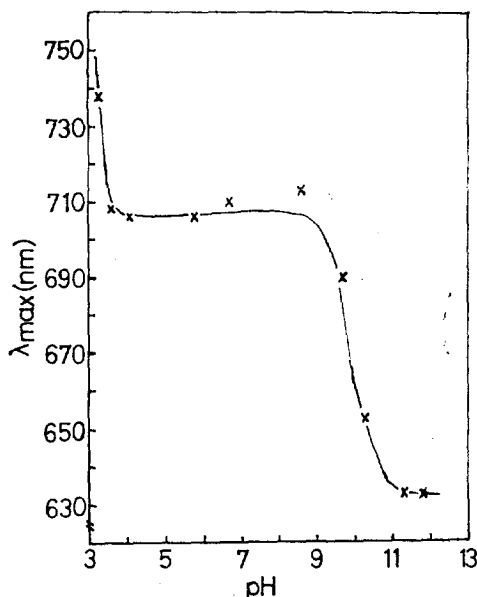


Figure 7. Plots of maximum absorption band against pH for visible in aqueous PVA/PAA mixture-Cu⁺⁺ solutions.

바와같이 pH가 9부근까지는 PAA-Cu⁺⁺錯物水溶液과 같은 경향의 λ_{max} 를 나타내고 pH가 약

11以上에서는 PVA-Cu⁺⁺錯物水溶液과 같은 경향의 λ_{max} 를 보여주었다. 錯物形成에 있어서 위에서 說明한 것처럼 pH에 따라서選擇的으로結合하는가를 좀더 확실히 하기위하여 pH가 9以上에서는 [PVA]/[PAA]=4, 및 pH가 11以上에서는 [PAA]/[PVA]=4의 조건에서의吸收 spectra의 λ_{max} 를 나타낸 것이 table 1이다.

Table I. Maximum Absortion Band of PVA-PAA-Cu⁺⁺ Aqueous Solutions Against pH Values of Concentration Ratio of PAA to PVA.

pH	[PAA]/[PVA] = 1/4	[PAA]/[PVA] = 4/1
7.1	710	
7.6	710	
7.9	713	
8.7	716	
8.9	710	
11.1		643
11.5		633
12.1		630
12.3		630

Table I에서 나타내는 바와 같이 pH가 9以下에서 PVA가 PAA보다 4倍나 더 存在함에도 불구하고 λ_{max} 가 PAA-Cu⁺⁺系에서와 같은 경향의 λ_{max} 를 나타내고 있는 것으로보아 Cu⁺⁺이온은 PAA만이 錯物을 形成하고 있는 것으로 밀어진다. 또한 pH가 11以上에서는 PAA가 PVA보다 4倍나 더 존재함에도 PVA-Cu⁺⁺錯物水溶液의 λ_{max} 의 값을 나타내었다. 위와 같은 결과로 보아 pH가 9以下에서는 PAA가, pH가 11以上에서는 PVA가 選擇的으로 Cu⁺⁺이온과 錯物을 形成하고 있는 결과는 아주 흥미있는 결과로 밀어진다. 여기에 대한 이유는 현재 검토중에 있다. pH가 9부터 11사이의 PVA/PAA混合系에서는 Cu⁺⁺이온이 PVA/PAA混合系에서 分子間의 高分子錯物을 形成하고 있는 지의 如否는 검토할 여지가 있으리라 믿는다.

3-3-2. PVA/PAA-Cu⁺⁺系의 IR Spectra

Fig. 8은 PVA/PAA系에서 pH=6.7(a), PVA/PAA-Cu⁺⁺系에서의 pH=4.1(b), pH=6.7(c), pH=10.3(d)의 1700cm⁻¹부터 1300cm⁻¹까지의 IR spectra이다. PAA의 carboxylate group과

Poly (Vinyl alcohol) (PVA)/Poly(acrylic acid) (PAA)-銅(II) chelate 形成과
이化合物를 利用한 vinyl monomer의 重合反應

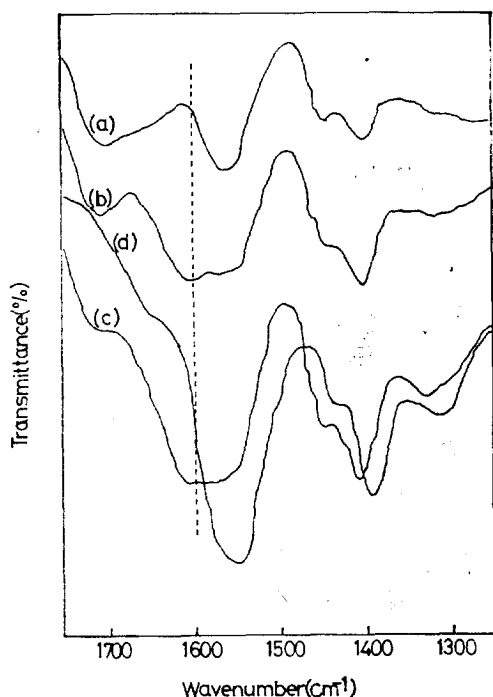


Figure 8. IR spectra of PVA/PAA mixture and PVA/PAA mixture- Cu^{++} systems against pH.
in case of PVA/PAA system, pH=6.7(a),
in case of PVA/PAA- Cu^{++} systems, pH=4.1(b),
pH=6.7(c) and pH=10.3, respectively.

Cu^{++} 와의 錯物形成으로 觀察되는 (1600cm^{-1})¹⁴의 흡수대를 비교해보면 pH 6.7의 PVA/PAA系에서는 흡수대가 없는 것이 PVA/PAA- Cu^{++} 系에서의 pH 4.1 및 6.7에서는 觀察이 되었고 pH 10.3에서는 观察이 되지 않았다. pH에 對해서 吸收帶를 조사하기 위하여 1600cm^{-1} 의 吸收帶의 optical density(OD)를 錯物形成에 영향을 주지 않는 $-\text{CH}_2$ group의 2945cm^{-1} 의 吸收帶 OD에 對해서 base line method에 의하여 plot 한結果를 Fig. 9에 나타내었다. Fig.에서 나타내는 바와같이 pH 3.5 부근부터 pH 9까지는 观察이 되고 있다. 이와같은結果에서 pH가 9까지에는 PVA/PAA- Cu^{++} 系에서는 PAA- Cu^{++} 만이 錯物을 形成하고 있는 3-3-1의 결과와도 같은 경향을 나타내고 있다. Fig. 9에서 OD比가 最大值를 나타낸 것은 Fig. 6의 PAA- Cu^{++}

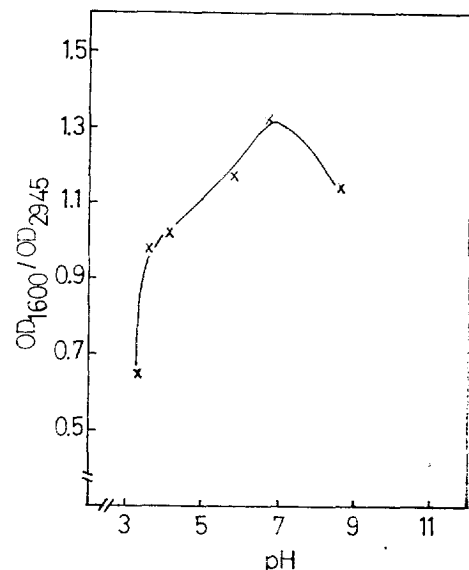


Figure 9. Plots of optical density (OD) ratio of 1600cm^{-1} to 2945cm^{-1} for the PVA/PAA- Cu^{++} systems against pH.

錯物水溶液의 相對粘度值가 pH 7에서 最小值를 나타낸 것과 같은 경향으로써, pH 7에서의 錯物形度量과 關係가 있다는 것을 생각할 수가 있으리라 믿는다.

3-4. 重合反應

Fig. 10은 CCl_4 存在下에 2-2에서 PAA- Cu^{++} , PVA- Cu^{++} , PVA/PAA- Cu^{++} 의 각각의 錯物을 形成했을 때와 같은 濃度의 錯物水溶液을 開始剤로 하여 스티렌을 重合한 후 pH에 對하여 plot 한 結果이다. 이때 모든 重合體의 量은 同一한 반응조건에서 熱重合에 의하여 生成된 量을 除한 것으로 나타내었다. PAA- Cu^{++} 錯物의 경우 錯物이 形成하는 영역에서도 미량의 重合率만을 얻었으나 Ouchi 等¹⁵의 研究와 비교하면 side chain에 carboxyl group를 갖는 sodium poly(L-glutamate)와 Cu^{++} 와의 錯物이 radical 機構에 의하여 methyl methacrylate (MMA)의 重合開始能을 갖고있는 것과 差異가 있는데 이 것은 形成된 錯物의 構造의 差異로 생각 되어진다.

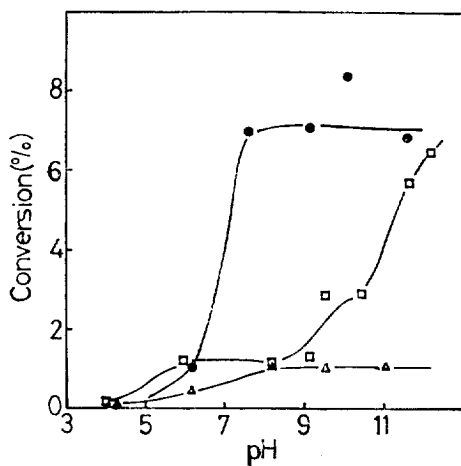


Figure 10. Polymerization of styrene by the PAA-Cu⁺⁺ chelate (\triangle), PVA-Cu⁺⁺ chelate (\bullet) and PVA/PAA-Cu⁺⁺ chelate (\square), respectively in the presence of CCl_4 against pH.

PVA-Cu⁺⁺錯物의 경우에는 pH가 7.5부근에서부터 pH 11부근까지重合의開始能力을 나타내었는데 이것은 PVA와 Cu⁺⁺와의錯物形成과相關關係가 있는 것으로錯物을形成하지 않으면 개시능력이 없는 것으로 생각되어진다. Takemoto等¹⁶도同一한 system인 PVA-Cu⁺⁺錯物을利用한 vinyl monomer인 MMA와 스티렌의重合反應을檢討한바 있는데 MMA의 경우에는 1~15%정도, 스티렌의 경우에는 1%미만의 중합율이 일어졌는데 우리들의 실험결과와는 다른 결과로서 우리들의實驗에서는 MMA의 중합에서는 1%미만이고 스티렌이 8%정도의 중합율을 나타내었다.

Takemoto等¹⁶의 경우의重合에서는錯物形成時의 使用한錯物水溶液으로 하지 않았으므로 實際로重合에 사용한水solution이錯物을形成했는지 알 수 없으므로 우리들이意圖한 것은形成된錯物의 구조와重合開始能力과를비교하기 위하여 실험을 행하였던 것으로 Fig.에는 표시않았지만 MMA에서작은重合率이 일어진 것은 polymer의濃度差異¹⁶인지 아니면 물과 CCl_4 과의 조성비의差異¹⁷때문인지 아직 확인할 수가 없었으나 앞으로 검토의여지가 있으리라 믿는다.

PVA와 Cu⁺⁺가錯物을形成했을때開始能力이 생기는것은 Imoto^{18,19}等의研究에의하면水溶性polymer와金屬과의錯物을開始剤로하는vinyl重合은radical開始機構를갖는다고提案하였는데,高分子-金屬錯物이 CCl_4 에의하여연쇄이동반응이일어나radical을形成하여그radical에의하여重合이개시된다고보고된바있다.

PVA/PAA-Cu⁺⁺系의경우에는pH가9까지에는PAA-Cu⁺⁺系와같은경향의重合率이일어졌고,pH가11以上에서는PVA-Cu⁺⁺系와같은경향의重合率이일어지고있어이러한結果들은앞에서說明한바와같이pH에따라서選擇的으로錯物을形成하고있기때문에이混合系를利用한重合反應에서도錯物形成과重合反應과는밀접한관계가있다는것을다시증명해주는결과가되었다.pH가9~11영역에서는PVA-Cu⁺⁺系와PAA-Cu⁺⁺系의중간정도의重合率을나타내고있는데3-3-1에서Cu⁺⁺이온이PVA/PAA混合系에서分子間의錯物을形成했는지의확인은할수없었다고논술했지만重合反應의結果로서간접적으로나마이pH영역에서는Cu⁺⁺이온이PVA및PAA양쪽에錯物을形成하는데참여하지않았나생각되어진다.

参考文献

- H. P. Gregor, L. B. Luttinger and E. M. Loeb, *J. Phys. Chem.*, **59**, 990 (1955).
- S. Kimura, T. Takitari and M. Imoto, *Bull. Chem. Soc. Jpn.*, **35**, 2012 (1962).
- K. Kimura, Y. Inaki and K. Takemoto, *Makromol. Chem.*, **176**, 2225 (1975).
- 北條, 白井, 阪田, 福田, 工化(日), **73**, 1862 (1970).
- A. Fujie and T. Kawai, *Makromol. Chem.*, **176**, 629 (1975).
- 竹本喜一外3人, 高分子觸媒, 講談社(日), 252 (1976).
- K. Kimura, Y. Inaki and K. Takemoto, *Makromol. Chem.*, **175**, 95 (1974).
- S. Saito and Okuyama, *Kolloid. Z.*, **139**,

Poly (Vinyl alcohol) (PVA)/Poly(acrylic acid) (PAA)-銅(II) chelate 形成과
o]化合物을 利用한 vinyl monomer 의 重合反應

- 150 (1954).
9. H. P. Gregor, L. B. Luttinger and E. M. Loeb, *J. Phys. Chem.*, **59**, 34 (1955).
 10. J. C. Leyte, L. H. Zuiderweg and M. van Reisen, *J. Phys. Chem.* **72**, 1127 (1968).
 11. D. P. Graddon, *J. Inorg. Nucl. Chem.*, **17**, 222 (1961).
 12. K. Yamaoka and T. Masujima, *Bull. Chem. Soc. Jpn.*, **52**, 1286 (1979).
 13. K. Yamaoka and T. Masujima, *Bull. Chem. Soc. Jpn.*, **52**, 1819 (1979).
 14. K. Nakamoto, "Infrared Spectra of Inorganic and Coordination Compounds." John Wiley and Sons, Inc. New York, N. Y. 1963.
 15. T. Ouchi, K. Watanabe, T. Yoshikawa, E. Morita and M. Imoto, *Polymer Journal*, **11**, 971 (1979).
 16. K. Kimura, Y. Inaki and K. Takemoto, *Makromol. Chem.*, **175**, 95 (1974).
 17. 西内, 勢川, 安岡, 日化, 1269 (1980).
 18. M. Imoto, Y. Iki, Y. Kawabata and M. Kinoshita, *Makromol. Chem.*, **140**, 281 (1970).
 19. M. Imoto, T. Ouchi and E. Morita, 日化, 1540 (1979).